·论 著·

长链非编码 RNA PGM5-AS1 在结直肠癌中的临床意义及功能研究

吴莉萍 高学仁 王建国

[摘要] 目的 探讨长链非编码 RNA PGM5-AS1 在结直肠癌组织中的表达情况及其对结直肠癌细胞增殖、迁移的影响。方法 通过实时荧光定量 PCR检测 24 例结直肠癌组及癌旁组、正常人结直肠上皮细胞系 NCM460 及结直肠癌细胞系 SW480、HCT116、Lovo 中 PGM5-AS1 mRNA 的表达。体外构建 PGM5-AS1 过表达载体,转染结直肠癌细胞 SW480、HCT116,构建 PGM5-AS1 过表达细胞模型,采用荧光定量 PCR、CCK-8、细胞划痕实验检测 PGM5-AS1 水平、增殖活力、划痕愈合率。结果 相比癌旁组织,PGM5-AS1 在结直肠癌组织中表达降低(t=11.41, P<0.05)。3 种结直肠癌细胞系(SW480、HCT116、Lovo)PGM5-AS1 的表达较 NCM460 细胞低(t分别=6.76、7.28、9.47,P均<0.05)。 HCT116、SW480 细胞中,过表达组的 PGM5-AS1 mRNA 相对表达量高于空载组(t分别=5.72、3.47,P均<0.05)。 过表达组转染 48 h、72 h、96 h 后的细胞增殖活力低于对照组和空载组(t分别=11.72、13.64;7.47、9.67;9.28、7.41,P均<0.05);过表达组的划痕愈合率低于对照组和空载组,差异有统计学意义(t分别=7.73、5.26,P均<0.05)。 结论 结直肠癌细胞中 PGM5-AS1 表达降低,上调 PGM5-AS1 水平可抑制细胞增殖、迁移能力,可能通过抑制细胞增殖来发挥抑癌功能,成为结直肠癌治疗的潜在靶点。

[关键词] 结直肠癌; PGM5-AS1; 增殖; 迁移

Clinical significance and function of long non-coding RNA PGM5-AS1 in colorectal cancer WU Liping, GAO Xueren, WANG Jianguo. Department of Laboratory Medicine, Jiaxing Maternal and Child Health Hospital, Jiaxing 314000, China. [Abstract] Objective To investigate the expression of long non-coding RNA PGM5-AS1 in colorectal cancer tissues and its effect on the proliferation and migration of colorectal cancer cells. Methods The expression of PGM5-AS1 mRNA was detected by real-time quantitative PCR in 24 cases of colorectal cancer and adjacent, normal colorectal epithelial cell lines NCM460, colorectal cancer cell lines SW480, HCT116, and Lovo.PGM5-AS1 overexpression vector was constructed in vitro and transfected into colorectal cancer cells SW480 and HCT116 to construct PGM5-AS1 overexpression cell model. The level of PGM5-AS1, proliferation activity and scratch healing rate were detected by qPCR, CCK-8 and scratch assay. Results Compared with the tissue adjacent to carcinoma, the expression of PGM5-AS1 decreased in colorectal cancer tissues (t=11.41, P<0.05). The expression of PGM5-AS1 in three colorectal cancer cell lines (SW480, HCT116, Lovo) was lower than that in NCM460 cell lines (t=6.76, 7.28, 9.47, P<0.05). In HCT116 and SW480 cells, the expression level of PGM5-AS1 in overexpression group was higher than that in no-load group (t=5.72, 3.47, P<0.05). After transfection for 48h, 72h and 96h, the proliferation activity of overexpression group was lower than that of control group and no-load group (t=11.72, 13.64, 7.47, 9.67, 9.28, 7.41, P < 0.05). The scar healing rate of the overexpression group was lower than that of the control group and the no-load group (t=7.73, 5.26, P<0.05). Conclusion The expression of PGM5-AS1 in colorectal cancer cells is decreased. Up-regulation of PGM5-AS1 level could inhibit the ability of pro-

DOI: 10.13558/j.cnki.issn1672-3686.2021.006.003

基金项目: 嘉兴市科技计划项目(2020AY10029、2020AD10030);浙江省自然科学基金(LQ21H160040)

作者单位:314000 浙江嘉兴,嘉兴市妇幼保健院检验 科(吴莉萍),中心实验室(王建国);上海交通大学附属新华 医院普外科(高学仁)

通讯作者:王建国,Email:srsywjg@163.com

liferation and migration of colorectal cancer cells, which may play a role in tumor suppression by inhibiting cell proliferation, and may be a potential target for the treatment of colorectal cancer.

[Key words] colorectal cancer; PGM5-AS1; proliferation; migration

结直肠癌是一种严重威胁人类健康的消化系统恶性肿瘤,近年来其发病率和死亡率呈增长趋势。结直肠癌发病率存在明显的地域差异,其中亚非地区最低^[2,3]。我国结直肠癌发病率约占全球结直肠癌发病的 18.6%^[2],其中江苏、上海等高发省市的结直肠癌发病率已接近甚至超过西方发达国家^[4]。基于结直肠癌发现晚、侵袭性强、致病机制复杂等特性^[5],深入研究结直肠癌诊断标志物及其分子致病机理有重要意义,可为我国结直肠癌预防、诊断和治疗提供新的思路和方案。

长链非编码 RNA (long non-coding RNA, lncRNA) 是一类长度大于200 个核苷酸的非编码 RNA,并在多种癌症的发生发展中发挥关键作用^[6,7]。有报道显示,lncRNAs 的异常表达与结直肠癌、乳腺癌、卵巢癌、非小细胞肺癌等恶性肿瘤的发生有关^[8-12]。PGM5-AS1 是近年来新发现的lncRNA,已有研究报道该基因在食管癌、非小细胞肺、胃癌等多种肿瘤中表达降低^[13],然而尚未有关于PGM5-AS1 在结直肠癌中的表达及具体的生物学功能研究。因此,本次研究通过对PGM5-AS1组织/细胞表达进行研究,探究其对结直肠癌细胞增殖和迁移的影响,报道如下。

1 材料与方法

- 1.1 组织标本 结直肠癌及癌旁组织 cDNA 标本均由上海交通大学医学院高学仁教授惠赠。本次研究时间为2019年6月至2020年6月。
- 1.2 结直肠癌细胞系 人结直肠癌细胞系 NCM460、SW480、HCT116、Lovo 购自于中国科学院上海生命科学研究院细胞资源中心。
- 1.3 主要试剂 pCDNA3.1- PGM5-AS1 过表达载体由上海生物工程股份有限公司构建。CCK-8细胞增殖检测试剂盒(由上海碧云天生物技术有限公司生产); 胎牛血清(由美国 Gibco 公司生产); DMEM、RPMI1640培养基(由美国 Gibco 公司生产); TRIzol[由生物工程(上海) 股份有限公司生产];转染试剂 Lipofectamine 2000由(Thermo公司生产);逆转录试剂盒 5X PrimeScript™ RT Master Mix(由TaKaRa 公司生产); Real-time PCR 试剂 qPCR SYBR Master Mix(No Rox)(由YEASEN 公司生产); 所有引物均在上海生工科技有限公司合成。

1.4 方法

1.4.1 细胞培养 用含 10% 胎牛血清的 DMEM 培养基培养 SW480、HCT116 细胞,含 10% 胎牛血清的

RPMI1640 培养基培养 Lovo 细胞,用含 10% 马血清的 DMEM/F12 培养基培养 NCM460 并各添加 0.1 U/L 青霉素和 0.1 U/L 链霉素置于 37 $^{\circ}$ C、5%CO₂培养箱中培养,胰酶消化传代。

1.4.2 细胞转染和分组 当细胞生长状态良好,并且细胞密度达到80%~90%时将细胞消化后按每孔5×10⁵个细胞接种至6孔板中,待细胞生长到70%~80%融合时,将目的质粒(4μg)稀释在250μl无血清RPMI1640中,6μl Lipofectamine 2000稀释在250μl无血清RPMI1640中,然后两者混合,37℃孵育20min转入细胞中,置于37℃、5%CO2培养箱,培养6h后更换新鲜的10%胎牛血清RPMI1640完全培养基。体外向HCT116、SW480细胞转染pCDNA3.1-PGM5-AS1过表达载体(过表达组)或空载体pcDNA3.1-N1(空载组),并设未转染的细胞为对照组。转染48h后收集细胞提取总RNA用于后续荧光定量PCR检测。

1.4.3 实时荧光定量 PCR 取 100 mg 组织或 $1 \times 10^{\circ}$ 个培养细胞,采用 TRIzol 法提取组织及细胞中总 RNA,反转录反应参照 PrimeScriptTM RT Master Mix 反转录试剂盒说明,在 10 μl 体系中加 1 μg 总 RNA 进行 cDNA 的合成。采用实时定量荧光 PCR 检测 PGM5-AS1 表达,实时定量荧光 PCR 选用 $2 \times SYBR$ Green PCR Mix,取 2 μl cDNA 作为模板,引物浓度 0.4μ mol/L, 10μ l 体系进行扩增,每个待测样本设置 $4 \wedge PCR$ 扩增,以 β -actin 作为内参照。引物序列见表 1。 $4 \times PCR$ 独立实验后得到的数据运用公式 $RQ=2^{-\Delta\Delta ct}$ 进行分析。

表1 实时荧光定量PCR引物序列

目的基因	序列
PGM5-AS1	
上游	5'-TGTTGTGAGCCTGCGAAAGA-3'
下游	5'-CATTCTCTTACCCGGCCCTG-3'
β-actin	
上游	5'-CTCCATCCTGGCCTCGCTGT-3'
下游	5'-GCTGTCACCTTCACCGTTCC-3'

1.4.4 CCK-8 将已转染pCDNA3.1-PGM5-AS1 过表达载体(过表达组),空载体pcDNA3.1-N1(空载组)及未转染的细胞(对照组)培养 24 h后胰酶消化计数,重悬于完全培养基中,调整浓度至20个/μl,以每孔 100 μl加入96孔板中,每组设5个

复孔。每孔加入10 ml CCK-8溶液置于培养箱中孵 育2h后测量其在450 nm波长处的吸光度值,连续 测量0 h、24 h、48 h、72 h和96 h吸光度值。

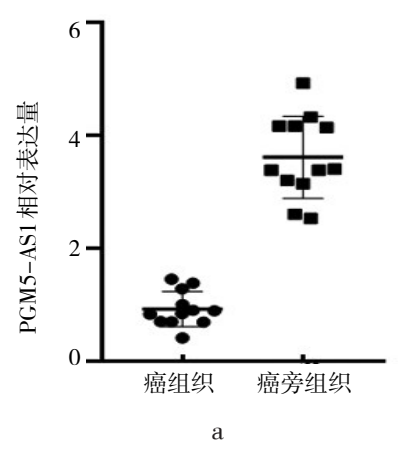
1.4.5 细胞划痕实验 细胞转染后消化吹打成细 胞悬液,接种于6孔板过夜,每孔接种密度为 5×10⁵个/孔,第2天用100 山枪头垂直6孔板划线, 磷酸盐缓冲液冲洗脱落细胞,加入2 ml 无血清 RPMI1640基础培养基中,24 h 后倒置显微镜下拍

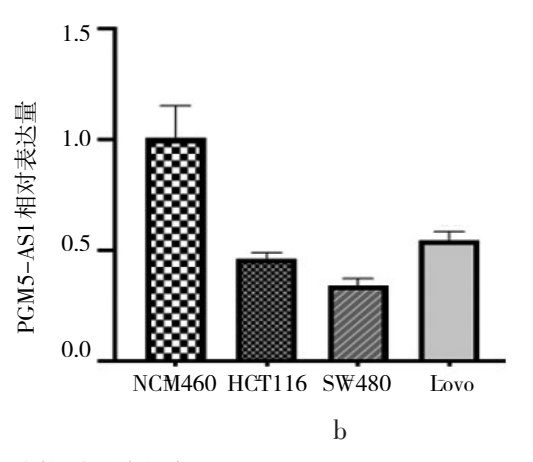
照并测量划痕宽度。实验重复3次。

1.5 统计学方法 采用 SPSS 22.0 进行统计学分 析,计量资料结果以均数±标准差 $(x\pm s)$ 表示,图表 通过 Graphpad prism 7 绘制,两组之间比较采用 t 检验。设P<0.05为差异有统计学意义。

2 结果

2.1 PGM5-AS1 在结直肠癌组织及细胞系中的表 法见图1





注:a为PGM5-AS1在结直肠癌组织中的表达;b为PGM5-AS1在不同细胞系中的表达。

图1 PGM5-AS1在结直肠癌组织及细胞系中的表达

由图1a可见,相比正常癌旁组织,PGM5-AS1 在结直肠癌组织中表达明显降低(t=11.41, P<0.05)。 由图1b可见,结直肠癌细胞系(HCT116、SW480、 Lovo)较正常结肠上皮细胞系(NCM460)PGM5-AS1 的表达水平明显降低(t分别=6.76、7.28、9.47,P均 <0.05)。本研究选取PGM5-AS1表达水平相对较低 的结直肠癌细胞系SW480进行后续实验。

2.2 构建 PGM5-AS1 过表达结直肠癌细胞系 荧 光定量PCR 检测结果显示,在HCT116、SW480细胞 中,过表达组的PGM5-AS1 mRNA 相对表达量均高 于空载组(t分别=5.72、3.47,P均<0.05)。HCT116、 SW480细胞的过表达效率分别为(2.72±0.05)%、 (3.27±0.06)%。说明构建PGM5-AS1过表达模型成 功,可用于后续功能实验。

2.3 过表达 PGM5-AS1 对 SW480 细胞增殖的影响 见图2

由图2可见,转染24 h后,过表达组与对照组吸 光度没有明显差异(t=0.37, P>0.05);与对照组和空 载组比较,过表达组转染48 h、72 h、96 h 后的细胞 增殖活力降低(t分别=11.72、13.64、7.47、9.67、9.28、 7.41,P均<0.05),对照组和空载组转染48 h、72 h、 96 h 后增殖活力比较,差异均无统计学意义(t分别 =0.65,0.42,0.71,P均>0.05)。

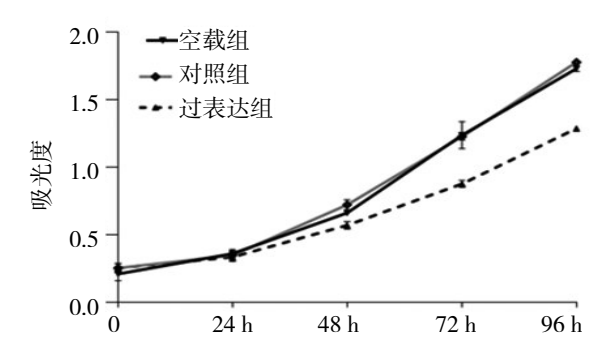


图2 过表达PGM5-AS1 对SW480 细胞增殖的影响 2.4 过表达 PGM5-AS1 对 SW480 细胞迁移的影响 见图3

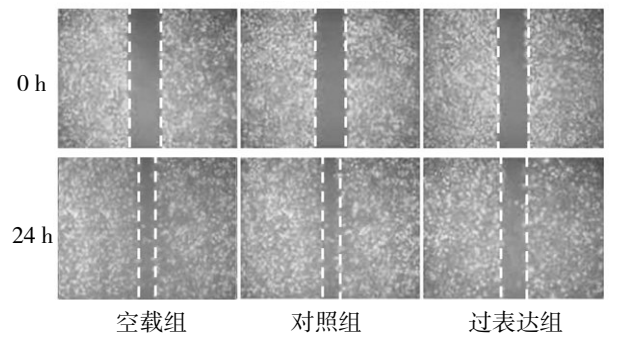


图3 过表达PGM5-AS1 对SW480细胞迁移的影响

由图3可见,过表达组的划痕愈合率低于对照组和空载组(t分别=7.73、5.26,P均<0.05),而对照组和空载组划痕愈合率比较,差异无统计学意义(t=0.21,P>0.05)。

3 讨论

外科手术切除对于早期结直肠癌患者可以做 到根治,对于中晚期患者,术后辅助应用化疗及靶 向治疗等方法在一定程度上改善患者预后[14]。目前 有研究证实IncRNA在包括结直肠癌在内的多种癌 症类型中参与癌症细胞转录及转录后调控等过程, 在细胞增殖、凋亡、侵袭中发挥重要作用,可作为肿 瘤早期诊断和预后的标志物[15,16]。IncRNA PGM5 基因被发现在肺癌、乳腺癌、食管癌、结直肠癌中显 著低表达, IncRNA PGM5 基因表达上调抑制了细 胞增殖和凋亡,表明 lncRNA PGM5 基因作为肿 瘤抑制因子发挥作用[17]。PGM5-AS1 是一种由位 于人类第9号染色体蛋白编码基因 PGM5 反义 链的 lncRNA[18]。有文献报道 PGM5-AS1 在前列腺 癌中低表达[19]。Zhang 等[20]通过TCGA 数据库分析 发现乳腺癌中,PGM5-AS1 等7个lncRNAs 出现差 异表达。然而关于PGM5-AS1 在结直肠癌中的作 用机制不明显。

本次研究前期通过TCGA 数据库发现 PGM5-AS1 在结直肠癌组织中呈低表达。本次研究采集临床 结直肠癌组织样本利用实时定量PCR技术检测 PGM5-AS1的表达,结果显示,PGM5-AS1在结直 肠癌组织中的表达较癌旁组织相比显著下调(P 均<0.05)。体外细胞检测PGM5-AS1 在正常人结 直肠上皮细胞(NCM460)以及不同结直肠癌细胞 (HCT116、SW480、Lovo)的表达情况,结果显示, PGM5-AS1 在结直肠癌细胞株中的表达较正常结直 肠上皮细胞表达显著下调。本次研究为进一步探究 PGM5-AS1在结直肠癌中的调控机制和生物学功能, 选用PGM5-AS1 表达下降最明显的SW480细胞株作 为后续研究对象,通过构建pCDNA3.1-PGM5-AS1 过表达载体瞬时转染 SW480和HCT116细胞株,检 测 PGM5-AS1 表达对结直肠癌细胞增殖和迁移的 影响。结果显示, PGM5-AS1 表达上调后, SW480 细胞的增殖能力显著下降,细胞划痕愈合减弱,即 PGM5-AS1 可能通过抑制结直肠癌细胞的增殖、迁 移过程,发挥其抑癌功效。

综上所述,结直肠癌细胞中PGM5-AS1 表达降低并发挥抑癌基因的作用,上调PGM5-AS1 水

平可抑制肿瘤细胞增殖、迁移能力,这进一步说明了 PGM5-AS1 在调节结直肠癌细胞的生长、组织的恶化和发展过程中的潜在靶点作用,为结直肠癌相关药物的开展及潜在治疗靶点提供理论支持。

参考文献

- Bray F, Ferlay J, Soerjomataram I. Global cancer statistics 2018; GLOBOCAN estimates of incidence and mortality worldwide for 36 cancers in 185 countries[J]. CA Cancer J Clin, 2018, 68(6): 394-424.
- 2 Stewart BW, Wild CP.World cancer report 2014.Lyon; international agency for research on cancer, 2014. https://xueshu. baidu. com / usercenter / paper / show? paperid=dbc90044016fde378cf9 dc9ab30a96a9&site=xueshu_se
- 3 Ferlay J, Soerjomataram I, Dikshit R, et al. Cancer incidence and mortality worldwide: Sources, methods and major patterns in GLOBOCAN 2012[J]. Int J Cancer, 2015, 136(5):E359-E386.
- 4 Chen W, Zheng R, Baade PD. Cancer statistics in China, 2015[J].CA Cancer J Clin, 2016, 66(2):115-132.
- 5 Wang CN, Wang JN, Chen ZL, et al. Immunohistochemical prognostic markers of esophageal squamous cell carcinoma; A systematic review[J]. Chin J Cancer, 2017, 36(1); 65.
- 6 Peng WX, Koirala P, Mo YY, LncRNA-mediated regulation of cell signaling in cancer[J]. Oncogene, 2017, 36 (41):5661-5667.
- 7 Mattick JS, Rinn JL. Discovery and annotation of long noncoding RNAs[J].Nat Struct Mol Biol, 2015, 22(1):5-7.
- 8 Sadeghpour S, Ghorbian S.Evaluation of the potential clinical prognostic value of lncRNA-BANCR gene in esophageal squamous cell carcinoma[J]. Mol Biol Rep, 2019, 46(1):991-995.
- 9 Luo K, Geng J, Zhang Q, et al.LncRNA CASC9 interacts with CPSF3 to regulate TGF-β signaling in colorectal cancer[J].J Exp Clin Cancer Res, 2019, 38(1):249.
- 10 Arun G, Spector DL. MALAT1 long non-coding RNA and breast cancer[J]. RNA Biol, 2019, 16(6):860-863.
- 11 Li S, Mei Z, Hu HB, et al. The lnc RNA MALAT1 contributes to non-small cell lung cancer development via modulating mi R 124 /STAT3 axis[J]. J Cell Physiol, 2018, 233(9):6679-6688.
- 12 Xu F, Zha G, Wu Y, et al. Overexpressing lncRNA SNHG16 inhibited HCC proliferation and chemoresistance by functionally sponging hsa-miR-93[J]. Onco Targets Ther, 2018, 11:8855-8863.

(下转第505页)

- 11 Wake C, Labadorf A, Dumitriu A, et al. Novel microRNA discovery using small RNA sequencing in post-mortem human brain[J].BMC Genomics, 2016, 17(1):776.
- 12 Schirinzi T, Di Lazzaro G, Sancesario GM, et al. Young-onset and late-onset Parkinson's disease exhibit a different profile of fluid biomarkers and clinical features[J]. Neurobiol Aging, 2020, 90(1):119-124.
- 13 Yilmaz SG, Geyik S, Neyal AM, et al. Hypothesis: Do miRNAs targeting the leucine-rich repeat kinase 2 gene (LRRK2) influence Parkinson's disease susceptibility? [J].OMICS, 2016, 20(4):224-228.
- 14 Giudice V, Banaszak LG, Gutierrez-Rodrigues F, et al. Diagnostic and prognostic roles of circulating exosomal microRNAs in acquired aplastic anemia and myelodysplastic syndromes[J]. Haematologica, 2018, 103(7):1150-1159.
- 15 Barcelo M, Mata A, Bassas L, et al. Exosomal microRNAs in seminal plasma are markers of the origin of azoospermia and can predict the presence of sperm in testicular tissue[J]. Hum Reprod, 2018, 33(6):1087-1098.
- 16 Xu Q, Zhu Q, Zhou Z, et al. MicroRNA-876-5p inhibits

- epithelial-mesenchymal transition and metastasis of hepatocellular carcinoma by targeting BCL6 corepressor like 1[J].Biomed Pharmacother, 2018, 103:645-652.
- 17 Sekar S, Taghibiglou C.Elevated nuclear phosphatase and tensin homolog (PTEN) and altered insulin signaling in substantia nigral region of patients with Parkinson's disease[J]. Neurosci Lett, 2018, 666: 139–143.
- 18 Torra A, Parent A, Cuadros T, et al. Overexpression of TFEB drives a pleiotropic neurotrophic effect and prevents parkinson's disease-related neurodegeneration[J]. Mol Ther, 2018, 26(6):1552-1567.
- 19 Lang AE, Espay AJ. Disease modification in Parkinson's disease: Current approaches, challenges, and future considerations[J].Mov Disord, 2018, 33(5):660-677.
- 20 Osier N, Motamedi V, Edwards K, et al. Exosomes in acquired neurological disorders: New insights into pathophysiology and treatment[J]. Mol Neurobiol, 2018, 55(12): 9280-9293.

(收稿日期 2020-12-08) (本文编辑 蔡华波)

(上接第492页)

- 13 Slaby O, Laga R, Sedlacek O. Therapeutic targeting of non-coding RNAs in cancer[J]. Biochem J, 2017, 474 (24):4219-4251.
- 14 Xu J, Cao J, Wang Y, et al. Novel preoperative nutritional assessment tool and prognostic model for ESCC patients [J].J Cancer, 2019, 10(17):3883—3892.
- 15 Wang WW, Wei CG, Li P, et al. Integrative analysis of mRNA and lncRNA profiles identified pathogenetic lncRNAs in esophageal squamous cell carcinoma[J]. Gene, 2018,661:169-175.
- 16 Zhao ZH, Wang WW, Niu LH, et al. P53-induced long non-coding R NA PGM5-AS1 inhibits the progression of esophageal squamous cell carcinoma through regulating mi R -466 /PTEN axis[J]. UBMB Life, 2019, 71 (10): 1492-1502.
- 17 Uzozie AC, Selevsek N, Wahlander A, et al. Targeted pro-

- teomics for multiplexed verification of markers of colorectal tumorigenesis[J]. Mol Cell Proteomics, 2017, 16 (3):407–427.
- 18 Ji P, Diederichs S, Wang W, et al. MALAT-1, a novel noncoding RNA, and thymosin β4 predict metastasis and survival in early-stage non-small cell lung cancer [J].Oncogene, 2003, 22(39):8031-8041.
- 19 夏前林,单孟林,丁滔,等. 前列腺癌差异表达基因的筛选及相互作用的生物信息学分析[J]. 中国癌症杂志, 2017,27(3):169-176.
- 20 Zhang X, Zhuang J, Liu L, et al. Integrative transcriptome data mining for identification of core lnc R NAs in breast cancer [J /OL]. Peer J, 2019[2019–11–12]. https://www.ncbi.nlm.nih.gov/pmc/articles/pmid/31608179.

(收稿日期 2020-11-30) (本文编辑 蔡华波)